

УДК 691.175:519.2

МОДЕЛИРОВАНИЕ ВЛИЯНИЯ СУПЕРПЛАСТИФИКАТОРОВ НА «ЖИЗНЕСПОСОБНОСТЬ» БЕТОННОЙ СМЕСИ ПРИ ИЗМЕНЕНИИ ВИДА ЦЕМЕНТА

**Циак М., (Варминско-Мазурский университет, г. Ольштын, Польша),
Коваль С.В. (Одесская государственная академия строительства и
архитектуры, г. Одесса)**

Приведены методики и результаты исследования эффективности польских суперпластификаторов по параметрам удобоукладываемости бетонной смеси при смене вида цемента.

Одним из способов повышения эффективности бетонных смесей для монолитного строительства является выбор цементов, при использовании которых бетонные смеси с суперпластификатором в течение заданного времени не теряют удобоукладываемость.

Сохранение подвижности бетонной смеси напрямую связано с замедлением ранних стадий процессов гидратации цемента. Для первичной оценки влияния добавок были проведены измерения температуры гидратации «чистых» цементов СЕМ I 42,5R (цемент 1) и СЕМ I 42,5HSR (2) и в присутствие двух добавок RBV (D_1) и BV-10 (D_2). Температурные зависимости представлены на рис.1. Различия в кинетике гидратации цементов с разными суперпластификаторами до настоящего времени не имеют единого объяснения. Однако можно выделить установленные факты.

Образующийся в результате адсорбции молекул слой олигомерной добавки на активных центрах цемента препятствует взаимодействию основных минералов, в первую очередь, C_3A , с водой и образованию продуктов новой фазы. Эти процессы фиксируются значительным уменьшением температуры гидратации для цементов с добавками по сравнению с контрольными цементами (рис.1), что может свидетельствовать о замедляющей роли адсорбированных молекул суперпластификатора. Замедление процессов гидратации при введении суперпластификаторов SNF объясняется [1] следующим. Ионы SO_4^{2-} в первый период взаимодействуют с алюминатными фазами, тормозя процесс их

* Данные исследования выполнены в рамках Договора о научно-техническом сотрудничестве между ОГАСА и Варминско-Мазурским Университетом в Ольштыне, Польша.

гидратации; суперпластификаторы типа SNF, содержащие сульфоно- вую группу SO_3^{2-} , также плотно взаимодействуют с алюминатными фазами, проявляя аналогичный эффект. При низкой концентрации ионов SO_4^{2-} скорость адсорбции повышена, что приводит к быстрой утрате подвижности смеси.

Ряд исследователей считает, что удлинение индукционной стадии связано в большей степени с химическим, а не физическим влиянием.

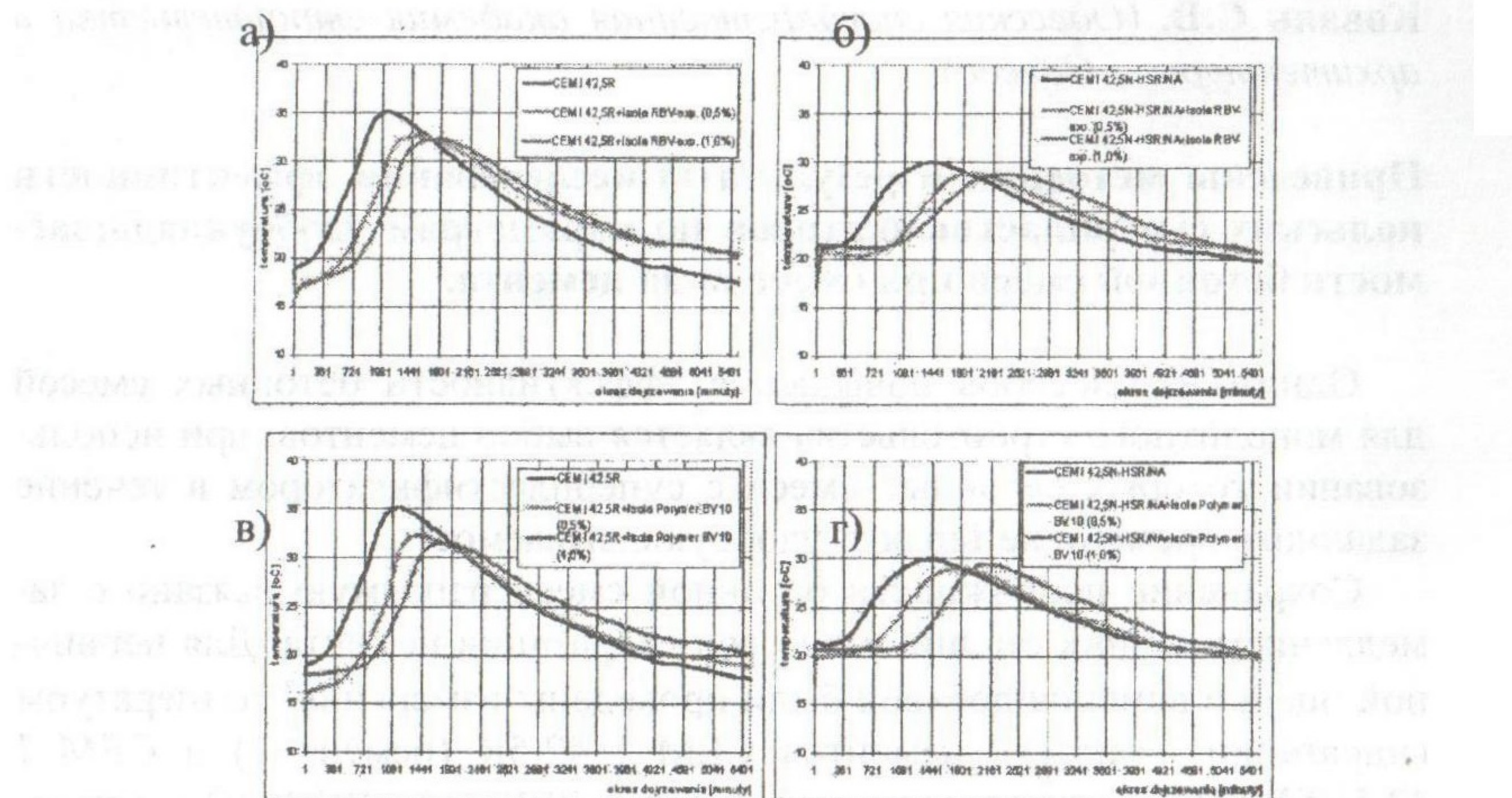


Рис.1. Зависимости «температура гидратации-время» для цемента СЕМ I 42,5R (C_1) и СЕМ I 42,5HSR (C_2) при введении RBV (а, б) и BV-10 (в, г)

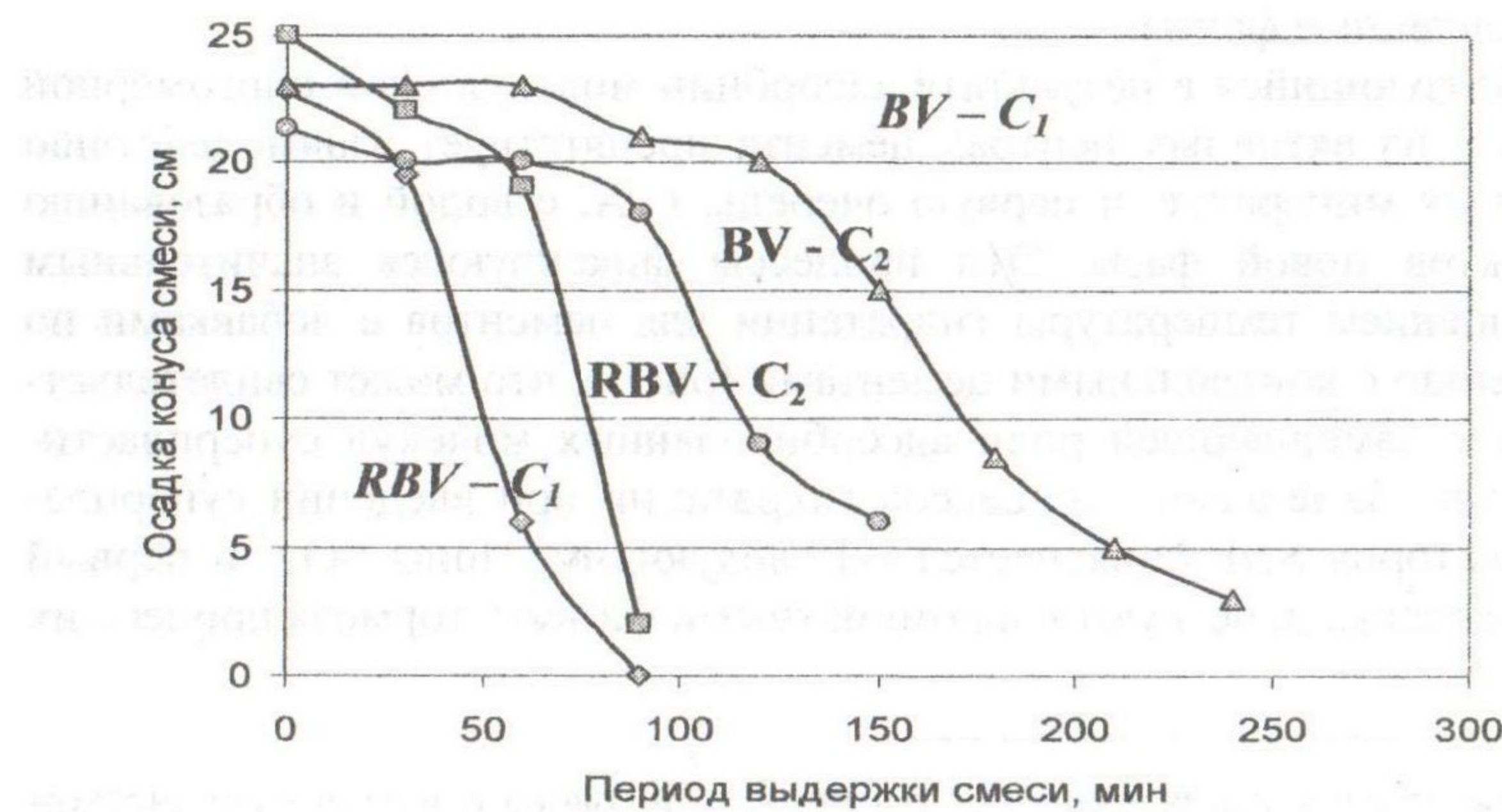


Рис.2. Влияние добавок на подвижность бетонных смесей во времени ($t=20^{\circ}\text{C}$) на двух цементах

Показано, что в пределах адсорбированного слоя концентрация C_3A и C_3S изменяется неравномерно, что, вероятно, подтверждает существование химического поглощения добавки [12]. При введении СП концентрация Ca^{2+} в растворе становится ниже, уменьшая скорость формирование портландита [2]. Уменьшение ионов кальция связывается с формированием комплексных (органоминеральных) соединений между Ca^{2+} и добавкой, что вносит вклад в замедление гидратации из-за медленного пересыщения Ca^{2+} [2].

Различие во влиянии RBV на цементе 1, по сравнению с 2, заключается как в уменьшении максимума температуры, так и в удлинении периода его появления. Аналогичные выводы относятся к добавке BV-10. Таким образом, замедление гидратации цемента 2, по сравнению с цементом 1, позволяет предположить возможность более длительного сохранения подвижности смеси на цементе 2.

На рис.2 показаны линейные зависимости $OK=f(\tau)$ для добавок RBV и BV-10 в случае использования СЕМ I 42,5R и СЕМ I 42,5HSR. Анализ указывает на согласованность предварительных выводов о влиянии в добавки RBV по температурным кривым на участке 0-720 мин (индукционный период). Однако, для поликарбоксилатного BV-10 однозначный вывод о связи кинетики температуры и потери подвижности смеси во времени сделать нельзя, так как наоборот, бетонные смеси на цементе 1 дольше сохраняют пластичность, чем на цементе 2.

Уменьшение содержания выделенного тепла в случае BV-10 может быть отнесено к уменьшению поступления воды к активным центрам цемента и увеличению расстояния между зернами цемента [3].

В силу того, что для нафталинформальдегидного СП заметная потеря подвижности наступает за период 30...45 мин, было решено этот период описать линейными зависимостями. Линейная зависимость имеет вид: $U_\tau = at + U_0$, где U_0 – начальная осадка конуса смеси, а – показатель скорости снижения OK. На рис.3 показан ряд линейных зависимостей для RBV, три из них относятся к цементу 1, три (отмеченные штрихом) – к цементу 2. Анализ свидетельствует о различном влиянии вида цемента (рис.3). Чем больше отрицательное значение а, тем темп снижения OK выше. Показатель темпа снижения a_1 осадки конуса для всей гаммы смесей с D_1 в случае C_1 составляет $a_1 = -0,15 \dots -0,28$, а в случае второго цемента $a_2 = -0,03 \dots -0,59$.

На следующем этапе были проанализированы экспериментально-статистические модели (табл.1), описывающие влияние количества цемента в бетонной смеси ($C_1=X_2=420 \pm 60 \text{ кг}/\text{м}^3$) и тонкодисперсной добавки золы-уноса («ropioł lotny»), вводимой в бетонную смесь

($3Y=X_3=10\pm 10\%$ от массы цемента) для повышения её однородности и связности.

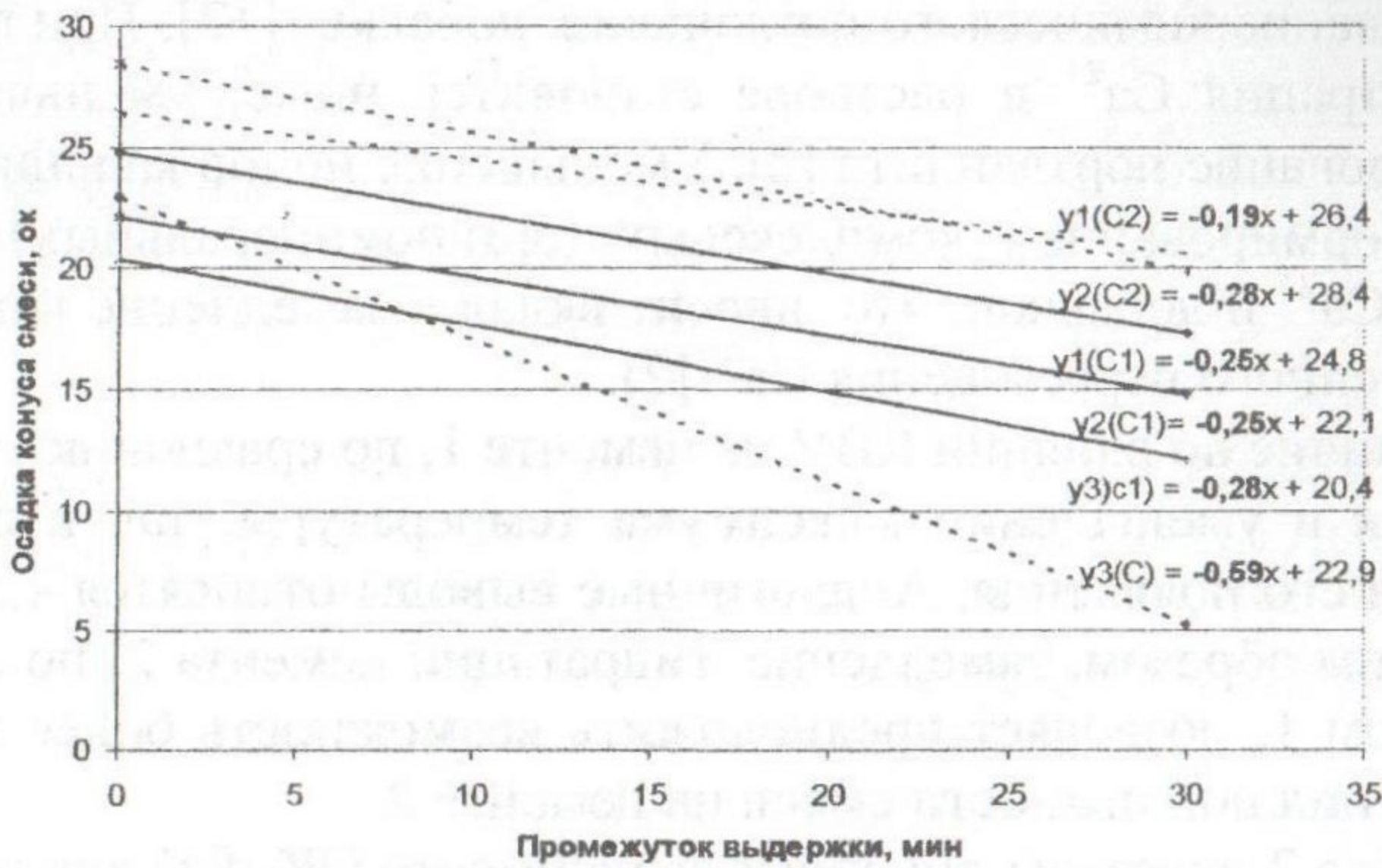


Рис.3. Линейные зависимости $OK=\phi(\tau)$ для смеси с добавкой RBV при переходе от цемента C_1 к цементу C_2 при содержании золы уноса: 1- 0%; 2 -10%; 3 -20%

Таблица 1. Коэффициенты моделей параметра темпа a

Показатель темпа a	b_0	b_1	b_2	b_1^2	b_2^2	b_{11}
$a_1RBV (C_1)$	-0,244	0,015	0,027	0,002	-0,003	0,004
$a_1RBV (C_1)$	-0,211	0,058	-0,143	-0,108	0,037	0,048
$a_1(C_1)/a_1(C_2)$	0,0856	-0,067	0,683	0,467	-0,083	0,075

Стрелками показано направление регулирования составом бетона для понижения темпа снижения подвижности.

Улучшение сохраняемости смеси на цементе 1 возможно за счет повышения количества этого цемента и содержания золы уноса. Для бетонных смесей на цементе 2, наоборот, эффективно уменьшение количества золы уноса и регулирования содержанием цемента в достаточно узком диапазоне 340...370 кг/м³.

Полученные значения a использованы для построения критерия $\chi=a_2\{C_2\}/a_1\{C_1\}$, указывающего «насколько темп снижения подвижности пластифицированной смеси на цементе C_2 выше ($\chi>1$) или ниже ($\chi<1$), чем на C_1 » (рис.4в) [4]. Диаграмма разделена на две области плоскостью $\chi=1$. Выше плоскости $\chi=1$ скорость потери подвижности выше у смесей на цементе 2, ниже этой плоскости – выше на цементе 1, чем на цементе 2. Анализ показывает, что более высокий темп снижения OK смеси на цементе 2 связан с присутствием в ее составе повышенных добавок золы, а более высокий темп потери подвижности смеси на цементе 1 – с отсутствием или малым его количеством.

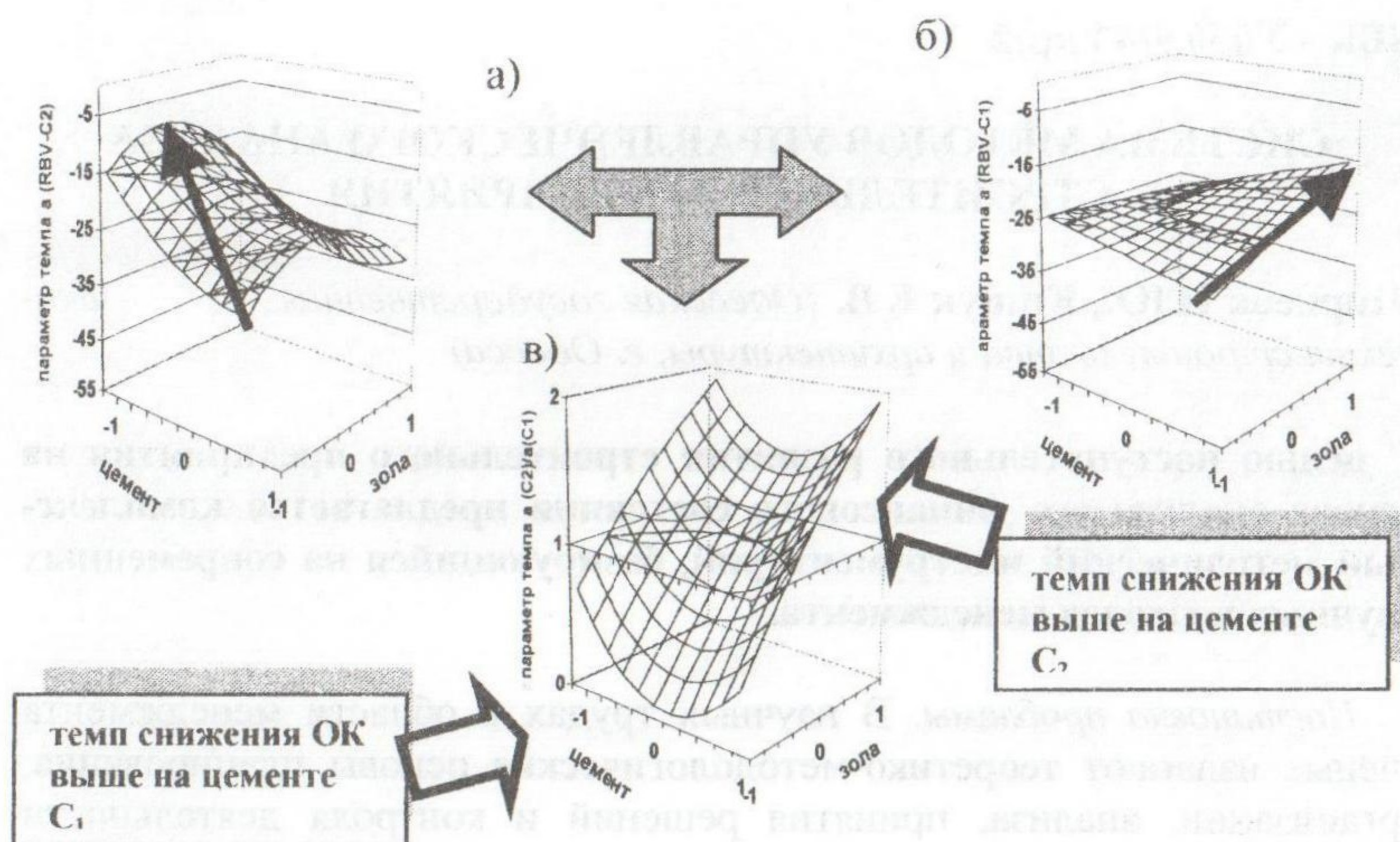


Рис.4. Зависимости показателя **а** для цемента СЕМ I 42,5R (а) и СЕМ I 42,5HSR (б) с выделением областей приоритета каждого из цементов по показателю χ (в)

Вывод. В отсутствие минеральной добавки в составе пластифицированной бетонной смеси преимущество в выборе цемента с позиций повышения ее жизнеспособности должно быть отдано цементу СЕМ I 42,5HSR; если же требуется ввести золу-унос (для повышения однородности смеси и плотности бетона), то преимуществом обладает СЕМ I 42,5R. За счет корректировки состава бетона возможно улучшение сохраняемости бетонных смесей с добавкой нафталинформальдегидного суперпластификатора.

1. Bonen D., Sarcar Shodeep L. The superplasticizer adsorption capacity of cement pastes, pore solution composition, and parameters affecting flow loss.: Cem. and Concr. Res. Vol.25, 1995. pp.1423-1434.
2. Uchikawa H., Hanehara S., Shirasaka, T., Sawaki, D., Effect of Admixture on Hydration of Cement, Adsorptive Behavior of Admixture and Fluidity and Setting of Fresh Cement Paste.: Cem. Concr. Res., 1992, №22, pp.1115–1129.
3. Uchikawa H, Hanehara S., Sawaki D.The Role of Steric Repulsive Force in the Dispersion of Cement Particles in Fresh Paste Prepared with Organic Admixtures.: Cem. and Concr. Res., 1997, №27, pp 37-50.
4. Циак М., Коваль С.В. Технологическая оценка эффективности влияния добавок на свойства бетонных смесей // Моделирование и оптимизация в материаловедении: Мат-лы 46 межд. сем. - Одесса: Астропринт, 2008. -С.65-67.